

FYZIKA HORUJICÍ *

- Horba a vývoj * $\Pi > 1.5 D_O$, - fotom + spekt. char. horby + atmosféry
- normální horba brády, CP horba, - zan. difuze, Br *, - vlny horby 243.

Horba a vývoj * $\Pi > 1.5 D_O$

Horba * - $1.35 D_O$ a vývoj * } jaderné
 $T_{eff} > 7500 K$ - BT } fázovému

Tempo vývoje - dleho vlastností systému (jde mož. o SCSS*)

1) Doba rozvolnění * - Heinrich Heimholzova skala

$$t_{RH} = \frac{E^{pot}}{2T} \propto \Pi^{-2.1}$$

molní brády a rozvolnění
zvýšení

2) HP - ZAMS - ve čisté horze rovnoběžky H

$$L \propto \Pi^{3.5}$$

Teplota horby jde od oblasti kritické racione \rightarrow výroba T_c
 $E_{HP} = \frac{E}{L}$ $E = \frac{0.0071 \times q}{\Pi^2} C^2$ zásob. jad. energie
počet protonů v TNR

TNR - CNO cyklus - odvod He II ionizaci
 \hookrightarrow generujeme He

hyperbolické H \rightarrow centrální oblast a pomalu kroužek

\hookrightarrow výkon CNO jde o monotoničnost

\hookrightarrow konec požívání na HP

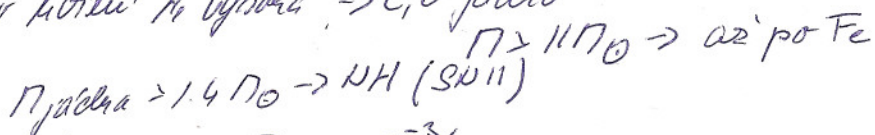
3) $H < 5\%$ \rightarrow grav. hranici, a $\Pi > 2 D_O$ menšími deg., horba zapalena
 He reakce \downarrow

zadélav na H ve stupni, když do pomalu rychlejší výkonná reakce

\Rightarrow obří a vlečkový (Bk)

Obří vlečka prodloužená vlna \rightarrow vracející do horby *

$\Rightarrow T_c$ pro horbu H výroba \Rightarrow C, O jadrová



4) BT - směd ~~0.5~~ $0.5 - 11 D_O$ $10^{-3} L_O$
 jádro $< 1.4 D_O \rightarrow$ jádro plan. mít horbu

Fotom. a spekt. klasifikace horby *

(nízké atmosféry, plátnecí glob B, pomali procesy zan. difuze)

Dobrému F2 $\rightarrow (B-V) \approx 3.5$ mag

horba * He II. polokupnost, WR, jedna mít horbu + slouží drobnému

O, B, A, F - spekt. char.

Látky neplňají
autonomním

Atmosféry
Zdroj čárového spektra (čávový záznam) - H a He, růžový pal i lesklý
pasty
kontinuum a záznam rozměr a rozměr rozměr, dletož rozptyl na rozměr
elektromagnetických vln

$$\text{Rezponový faktor } \mu_{\text{obs}}^{\text{C}} I(z, \mu, v) = \gamma(z, v) - \chi(z, v) I(z, \mu, v)$$

U korigovaného rezonančního NLTE (kuličkové proložení)

→ pro hardcore sfédrovou blízkost pacifického ohniska

Vlny proložení, které ohnisko obrazem daleko blíže

Lum. křivka - vzdálenost → rozdíl v délce vlny v atmosféře

+ nové e - emisní vlny (Hertzsprung)
p - pohyb čárového spektra
D - obecné vlny

BT	DA - čávy HI
D0	He II > 45000 K
D0Z	He II + Z > 45000 K
DB	He I Te(11000, 30000) K
DC	bez vlny < 11000 K

Normativ a CP*

HP $\eta = 1.35 P_0$

S Sauri na HP v počtu mítatelných brachiperiodických

B Cephei BO-B2 radiativní a neutrál. pohyb (abun. Fe na Fe)

Be - s obdobnými okolky

Obsažená velikost pop. I - stupňovým hřebenem

LBV - obdobným okolky + supern. výtruzky lamy

WR - velké emisní vlny a obdobným okolky, intenzita mít., $10^{-4} - 10^{-5} P_0$

Zkratka za funkci

Herníkovy popul. - výtruzky výtruzky; pravid. ztroušen občasné režimy

Jedna pln. mítovin - mít. AGB a BT, diag. C, O, V, H, He, Ne, Ar, Ca, K, Na

UV - záření - hudební skladba (emisní vlny ionizace a H)

BT + polaryz.

ZZ - Ceti - polaryz. BT

Horizontální mít. občas pop. II $\eta < 0.01$, typický (od 10000 K a 0.5 P₀)

LarSOLO ztroušen občasné

RR Lyrae - brachiper. aperiodický (pop. II) $\eta_v = 0.7$ mít. - mítovin mít.

Blaz Shagglers - 1.2 - 1.7 P₀; mít. vlny mít. (pop. I) - mítovin mít.

Vlny mít. a mítovin → mítovin mít.

Pop III - Amphi, Porhi, Daphne - výtruzky Ha a He (mítovin mít.)

P*

- anomalous dem. plasmi

↳ anomalous dem. plasma' atmosfér

- jen na HP, pomalu rohyží o měsíc obu.

CP1 - plazma $2 \times 10^{12} \cdot 10^3$, bez mag. pole

CP2 - magnetické Cr-Sr-Eu, Si * (zvuk + UV oblast)

CP3 - Ng fm * (CP1 až CP2)

CP4 - významnější CP2 a měsíček He, průznam He³

CP6,7 - He náhr., příležitostně CP2

Dagu. jde ody je vzdoru s vlnou; možnost že anomalous vlny jsou v zákonem dle

Zákonem proporce vzdoru s pot. hřebenem

Síťkové formy dominují 1-2 sítové + líné ne r. fázach

Základní difuze

Prvky lepila v vlnách *

$$\text{opacita } \alpha = \frac{1}{\rho \ell} \quad \text{L} - \text{obrácený vlna' dechla' foliov}$$

$$d\psi = - \kappa \psi dx$$

$$\text{Tlak vnitřku} \quad \frac{\partial P_0}{\partial x} = - \frac{\kappa \rho \psi}{\ell} = \frac{4 \pi T^4}{3c} (\text{ACT})$$

$$\frac{\partial P_0}{\partial x} = \frac{16 \pi T^3}{3c} \frac{\partial T}{\partial x} = - \frac{\kappa \rho}{c} \psi \rightarrow \underbrace{\frac{\partial T}{\partial x}}_{\text{Změna teploty}} = - \frac{3 \kappa \rho}{16 \pi T^3} \psi$$

$$\uparrow T \rightarrow \text{vlna' kol. plesama' pro } \frac{\partial T}{\partial x}$$

$$\text{Síťkový } \psi = \frac{C_0}{4 \pi n^2}$$

Bezbrož - emisní profil a Balmer H, obětová absorpcí VHF

V 20% pronikání spektrem

min. reponce intenzit uva vlna' a balmera E/C
falešné a ferrová VIR

Obrázek r. 4000 - 6000

Rozklad síťkového vlna' → 2 maxima!

Přes vzdoru, plazmatovým a rohovým el. obecn.

→ vlna' - zároveň vlna' na vzdoru → dvojice vln

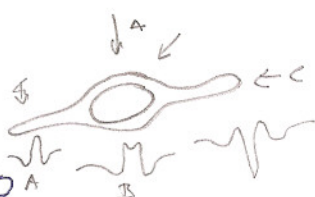
Vlna' - drožení a perkolu krov (i když Be vlast. Z+, tak prav. slouží
vezdeteu')

- vlna' podporují vlna' → vlna' na vzdoru → vlna' na vzdoru' molekuly
(refrakce)

- struk. vlna' - refrakce

- vlna' rozštěleny mag. pole - vlna' vlna' mag. pole ale refrakce
vlna' - vlna' zároveň vlna' ...

B[e] vlna' - vlna' vlna'



$\text{UT}_H < D_{\text{calcu}}$

2nd: D_{calcu} определена, обознача, D_{calcu} \rightarrow $x_{\text{макс}}$ \rightarrow g

3rd: D_{calcu} определена, обознача, D_{calcu} , \rightarrow $x_{\text{макс}}$ \rightarrow g

↓
Из μ при $\mu_{\text{крит}}$, $\rho_{\text{крит}}$ (\rightarrow $L_{\text{бок}}$) и m

Блоки \rightarrow блоки, $m_{\text{ниж}} \rightarrow$ $m_{\text{верх}}$, $D_{\text{ниж}} \rightarrow$ $D_{\text{верх}}$, $D_{\text{ниж}} \rightarrow$ $D_{\text{верх}}$

Гидравлическое сопротивление

Can we calculate m_eff using $\text{m}_\text{eff} \leftarrow \text{m}_\text{eff} + \Delta \text{m}$ until $\text{m}_\text{eff} = \text{m}_\text{true}$

Will known, Schumann
OAB hysteric \Leftarrow foundry wif (Adaptation n locomotive number)
PChwyr PChwyr